

Doppio pendolo

Carola Maria Caivano

October 26, 2022

Abstract

In questo progetto si è andati a studiare il comportamento dinamico di un pendolo doppio, cercando di risolvere le sue equazioni del moto attraverso alcuni metodi dell'analisi numerica. Il sistema è risultato sensibile sia alle condizioni iniziali che al metodo di risoluzione scelto.

1 Introduzione

Il doppio pendolo è un sistema costituito da due pendoli attaccati uno all'estremità dell'altro. Possiamo descrivere questo sistema come un sistema caotico, dal momento che il suo comportamento dinamico è molto sensibile a piccole variazioni delle condizioni iniziali. Come conseguenza il moto di un doppio pendolo è molto difficile da prevedere.

Per studiare il comportamento del doppio pendolo, si è cercata una soluzione approssimata delle equazioni differenziali ordinarie, che ne descrivono il moto, utilizzando quattro diversi metodi: il metodo di Eulero, Runge Kutta del quarto ordine, position-Verlet e velocity-Verlet.

2 Teoria

2.1 Equazioni del moto

Se consideriamo il nostro doppio pendolo esso è formato da due pendoli, costituiti da due masse m_1 e m_2 attaccate a due asticelle l_1 e l_2 , che nel nostro studio abbiamo considerato prive di massa.

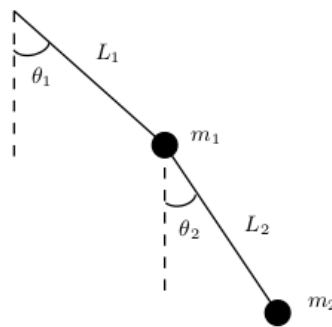


Figure 1: doppio pendolo

La posizione delle due masse è data da:

$$\begin{cases} x_1 = l_1 \sin \theta_1 \\ x_2 = x_1 + l_2 \sin \theta_2 \\ y_1 = -l_1 \cos \theta_1 \\ y_2 = y_1 - l_2 \cos \theta_2 \end{cases} . \quad (1)$$

Gli angoli θ_1 e θ_2 , che variano in funzione del tempo, rappresentano gli angoli che le due asticelle del doppio pendolo formano con la verticale.

Si possono calcolare le velocità delle masse: $u_1 = \frac{\partial x_1}{\partial t} = \dot{\theta}_1 l_1 \cos(\theta_1)$, $v_1 = \frac{\partial y_1}{\partial t} = \dot{\theta}_1 l_1 \sin(\theta_1)$, $u_2 = \frac{\partial x_2}{\partial t} = \dot{\theta}_2 l_2 \cos(\theta_2) + u_1$, $v_2 = \frac{\partial y_2}{\partial t} = \dot{\theta}_2 l_2 \sin(\theta_2) + v_1$, da cui si può calcolare l'energia cinetica e l'energia potenziale (dove l'energia potenziale $V=0$ è associata alla configurazione $(\theta_1, \theta_2) = (0, 0)$)

$$\begin{cases} T_1 = \frac{1}{2} m_1 (u_1^2 + v_1^2) \\ T_2 = \frac{1}{2} m_2 (u_2^2 + v_2^2) \\ V_1 = m_1 g y_1 \\ V_2 = m_2 g y_2, \end{cases} \quad (2)$$

da cui si ottiene:

$$\begin{cases} T = T_1 + T_2 = \frac{1}{2} m_1 l_1^2 \dot{\theta}_1^2 + \frac{1}{2} (m_2 l_1^2 \dot{\theta}_1^2 + l_2^2 \dot{\theta}_2^2 + 2 l_1 l_2 m_2 \dot{\theta}_1 \dot{\theta}_2 \cos(\theta_1 - \theta_2)) \\ V = V_1 + V_2 = -m_1 g l_1 \cos(\theta_1) - m_2 g l_1 \cos(\theta_1) - m_2 g l_2 \cos(\theta_2) \end{cases} \quad (3)$$

Si può così calcolare la Lagrangiana come

$$\mathcal{L} = T - V, \quad (4)$$

e attraverso le equazioni di Eulero-Lagrange

$$\frac{\partial \mathcal{L}}{\partial \theta_k} - \frac{d}{dt} \frac{\partial \mathcal{L}}{\partial \dot{\theta}_k} = 0 \quad (k = 1, 2), \quad (5)$$

si ottengono le equazioni del moto:

$$\begin{cases} \ddot{\theta}_1 = - \frac{(2m_1 + m_2)g \sin(\theta_1) + m_2 g \sin(\theta_1 - 2\theta_2) + 2m_2 \sin(\theta_1 - \theta_2) [l_2 \dot{\theta}_2^2 + l_1 \dot{\theta}_1^2 \cos(\theta_1 - \theta_2)]}{l_1 [2m_1 + m_2 - m_2 \cos(2(\theta_1 - \theta_2))]} \\ \ddot{\theta}_2 = \frac{2 \sin(\theta_1 - \theta_2) [l_1 (m_1 + m_2) \dot{\theta}_1^2 + g(m_1 + m_2) \cos \theta_1 + m_2 l_2 \dot{\theta}_2^2 \cos(\theta_1 - \theta_2)]}{l_2 [2m_1 + m_2 - m_2 \cos(2(\theta_1 - \theta_2))]} \end{cases} \quad (6)$$

Questo è un sistema di equazioni differenziali ordinarie al secondo ordine, che può essere ridotto ad un sistema al primo ordine:

$$\begin{cases} \dot{\theta}_1 = \omega_1 \\ \dot{\omega}_1 = \frac{-g(2m_1 + m_2) \sin \theta_1 - m_2 g \sin(\theta_1 - 2\theta_2) - 2 \sin(\theta_1 - \theta_2) m_2 (\omega_2^2 l_2 + \omega_1^2 l_1 \cos(\theta_1 - \theta_2))}{l_1 (2m_1 + m_2 - m_2 \cos(2\theta_1 - 2\theta_2))} \\ \dot{\theta}_2 = \omega_2 \\ \dot{\omega}_2 = \frac{2 \sin(\theta_1 - \theta_2) (\omega_1^2 l_1 (m_1 + m_2) + g(m_1 + m_2) \cos \theta_1 + \omega_2^2 l_2 m_2 \cos(\theta_1 - \theta_2))}{l_2 (2m_1 + m_2 - m_2 \cos(2\theta_1 - 2\theta_2))}. \end{cases} \quad (7)$$

2.2 Analisi per piccoli angoli

Per piccoli angoli è possibile calcolare la soluzione analitica. Linearizzando la lagrangiana otteniamo le seguenti equazioni del moto:

$$\begin{cases} \ddot{\theta}_1 = g \theta_2 - 2 \frac{g}{L} \theta_1 \\ \ddot{\theta}_2 = 2g(\theta_1 - \theta_2) \end{cases} \quad (8)$$

Risolvendole si ottengono le seguenti equazioni:

$$\begin{cases} \theta_1(t) = \frac{1}{\sqrt{2}} (\Theta_+ \cos(\omega_+ t) + \Theta_- \cos(\omega_- t)) \\ \theta_2(t) = \Omega_+ \cos(\omega_+ t) - \Theta_- \cos(\omega_- t) \end{cases}, \text{ dove } \begin{cases} \omega_+ = \sqrt{\frac{g}{L} (2 - \sqrt{2})} \\ \omega_- = \sqrt{\frac{g}{L} (2 + \sqrt{2})} \end{cases} \text{ e } \begin{cases} \Theta_+ = \frac{1}{2} (\sqrt{2} \theta_{1,0} + \theta_{2,0}) \\ \Theta_- = \frac{1}{2} (\sqrt{2} \theta_{1,0} - \theta_{2,0}) \end{cases}$$

3 Metodi

Dal momento che esiste una soluzione analitica per le equazioni del moto solo per piccoli angoli, si sono andati ad utilizzare diversi metodi per risolverle numericamente, in modo da verificare i risultati ottenuti (i diversi metodi dovrebbero restituirci soluzioni simili) e in modo da individuare il metodo che meglio descrive il nostro sistema.

3.1 Metodo di Eulero

Il primo metodo utilizzato è il metodo di Eulero, che partendo da una funzione iniziale $y(t)$ ci permette di calcolare:

$$y(t + \Delta t) = y(t) + \dot{y}(t)\Delta t, \quad (9)$$

con Δt che rappresenta un piccolo incremento del tempo.

Questo metodo ha un errore di troncamento che è $O(h^2)$, quindi è un metodo del primo ordine.

3.2 RK4

Il secondo metodo utilizzato è il metodo di Runge-Kutta del quarto ordine, che valuta la derivata della funzione quattro volte per ogni step Δt .

Possiamo riscrivere il nostro sistema come:

$$\frac{dY}{dt} = R(t, Y), \quad (10)$$

dove Y contiene le variabili $(\theta_1, \theta_2, \omega_1, \omega_2)$ e $\frac{dY}{dt}$ è il vettore che contiene le derivate temporali $(\dot{\theta}_1, \dot{\theta}_2, \dot{\omega}_1, \dot{\omega}_2)$. Considerando la condizione iniziale $Y(0) = Y_0$ e l'intervallo $R \supset [0, t_e]$ (il dominio di integrazione), si divide l'intervallo in N steps larghi h .

Nei metodi di Runge-Kutta si va a calcolare Y_{n+1} usando Y_n . In particolare nel metodo del quarto ordine si ha che:

$$\begin{aligned} Y_{n+1} &= Y_n + \frac{h}{6}(k_1 + 2k_2 + 2k_3 + k_4) \\ k_1 &= R(t_n, Y_n) \\ k_2 &= R(t_n + \frac{h}{2}, Y_n + \frac{h}{2}k_1) \\ k_3 &= R(t_n + \frac{h}{2}, Y_n + \frac{h}{2}k_2) \\ k_4 &= R(t_n + h, Y_n + hk_3). \end{aligned} \quad (11)$$

Questo metodo ha un errore di troncamento che è $O(h^5)$, quindi è un metodo del quarto ordine.

3.3 Velocity-Verlet

Definiamo l'incremento come $h = \delta t$ e i vettori contenenti le variabili come:

$$\begin{aligned} X &= (\theta_1, \theta_2) \\ V &= (\dot{\theta}_1, \dot{\theta}_2) \\ A &= (\ddot{\theta}_1, \ddot{\theta}_2), \end{aligned} \quad (12)$$

dove $A(x)$ è l'accelerazione.

Nel metodo velocity-Verlet si ha che:

$$\begin{aligned} V_{n+\frac{1}{2}} &= V_n + \frac{h}{2}A(X_n) \\ X_{n+1} &= X_n + hV_{n+\frac{1}{2}} \\ V_n &= V_{n+\frac{1}{2}} + \frac{h}{2}A(X_{n+1}) \end{aligned} \quad (13)$$

Questo metodo ha un errore di troncamento che è $O(h^3)$, quindi è un metodo del secondo ordine.

3.4 Position-Verlet

In position-Verlet si ha che:

$$\begin{aligned} X_{n+\frac{1}{2}} &= X_n + \frac{h}{2} V_n \\ V_{n+1} &= V_n + hA(X_{n+\frac{1}{2}}) \\ X_n &= X_{n+\frac{1}{2}} + \frac{h}{2} A(V_{n+1}) \end{aligned} \quad (14)$$

Questo metodo ha un errore di troncamento che è $O(h^3)$, quindi è un metodo del secondo ordine.

Sia velocity-Verlet, che position-Verlet funzionano solo per piccoli angoli, quando (Eq. 6) dipende solo da θ e non da $\dot{\theta}$.

3.5 Studio di compatibilità con la soluzione

Si vuole studiare l'accuratezza degli algoritmi, per farlo si studia l'errore sull'angolo θ_1 andando a variare t e mantenendo dt costante. Si indica la soluzione dei diversi metodi come $\tilde{\theta}_1$ e quella analitica come θ_1 , l'errore è definito come $\Delta\theta = \tilde{\theta}_1 - \theta_1$.

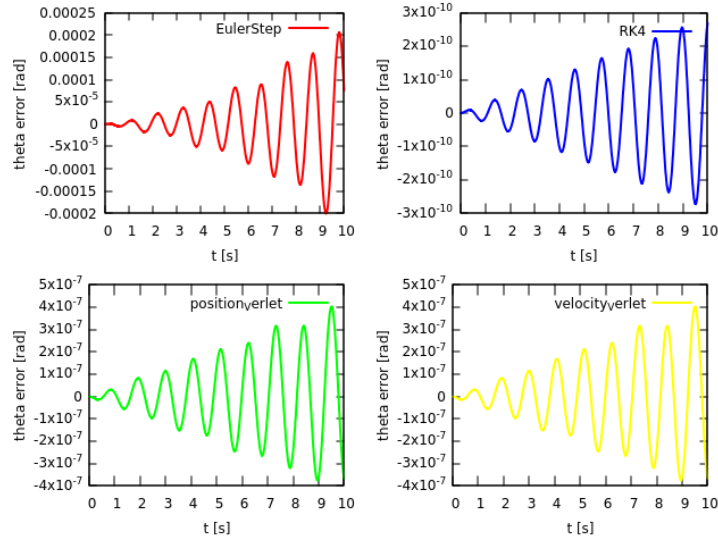


Figure 2: Condizioni iniziali: $\theta_1 = 0 \text{ rad}$, $\omega_1 = 0 \text{ rad/s}$, $\theta_2 = 10^{-5} \text{ rad}$, $\omega_2 = 0 \text{ rad/s}$

Dopo 10^3 iterazioni l'errore $\Delta\theta$ per RK4 è dell'ordine di 10^{-10} , mentre per position Verlet e velocity Verlet è dell'ordine di 10^{-7} , possiamo quindi dire che questi algoritmi descrivono in modo accurato il sistema per angoli piccoli.

3.6 Studio della convergenza

Per studiare la convergenza dei nostri algoritmi si sono andati a testare i modelli su un sistema più elementare, quello del pendolo semplice. Nel caso di approssimazione per piccoli angoli, l'equazione del moto che deve essere risolta è $\ddot{\theta} = -\frac{g}{L} \sin(\theta)$ e la soluzione analitica è $\theta(t) = \theta_0 \cos(\sqrt{\frac{g}{L}}t)$.

Il seguente plot si ottiene dividendo ad ogni iterazione $dt \rightarrow \frac{dt}{2}$ e definendo l'errore su θ come $\Delta\theta = |\tilde{\theta} - \theta|$, dove $\tilde{\theta}$ è la soluzione analitica.

Per tale studio si è andati ad utilizzare come condizioni iniziali $\theta = 0.08$ e $\dot{\theta}_1 = 0$.

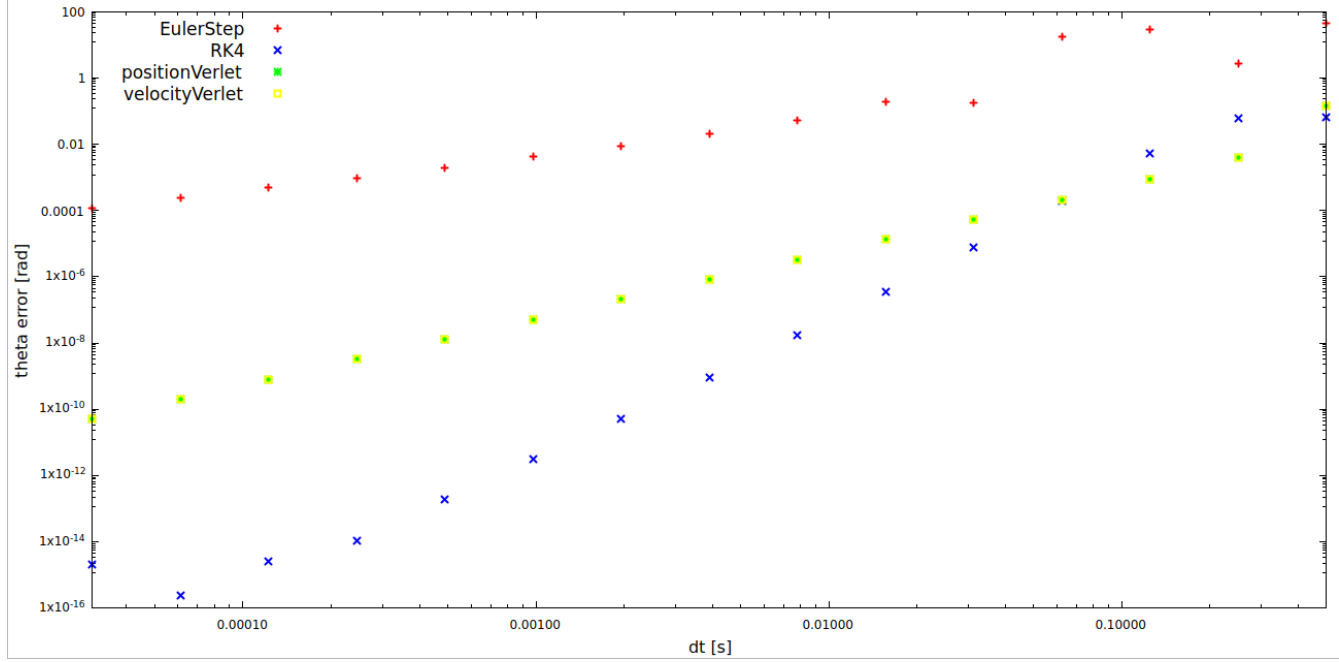


Figure 3: Convergence degli algoritmi in scala logaritmica

Per verificare la convergenza si è andati a calcolare il coefficiente angolare in scala logaritmica per ognuno dei metodi. Per RK4 si è ottenuto un coefficiente di ~ 4.1 , possiamo dire che il nostro algoritmo implementa un metodo al quarto ordine. Per Eulero si è ottenuto un coefficiente di ~ 1.16 , l'algoritmo implementa un metodo al primo ordine. Per Position Verlet e Velocity Verlet si è ottenuto un coefficiente angolare di ~ 1.96 , gli algoritmi implementano un metodo al secondo ordine.

4 Risultati

4.1 Energia

Si è andati a studiare come l'energia totale varia nel tempo. L'energia del sistema è:

$$E = \frac{1}{2}(m_1 + m_2)v_1^2 + \frac{1}{2}m_2v_2^2 + m_2v_1v_2 \cos(\theta_1 - \theta_2) + g[m_1(l_1 + l_2 + y_1) + m_2(l_1 + l_2 + y_2)], \quad (15)$$

dove $v_1 = l_1\omega_1$ e $v_2 = l_2\omega_2$. Dal momento che abbiamo una forza conservativa che agisce sul nostro sistema, la forza di gravità, e il sistema non è smorzato, l'energia dovrebbe rimanere costante.

Per quanto riguarda i metodi di Verlet, essi dovrebbero funzionare correttamente solo nel caso in cui la nostra forza dipenda dalla velocità. Si è visto precedentemente come in un regime non caotico non sia presente una differenza sostanziale tra le traiettorie di questi metodi e gli altri, si potrebbero quindi interpretare queste piccole differenze come fluttuazioni dovute all'utilizzo di un differente metodo.

Il fatto che questo metodo non sia corretto per descrivere il nostro sistema è però ben visibile dal grafico sull'energia, dove si presentano fluttuazioni molto ampie rispetto a RK4.

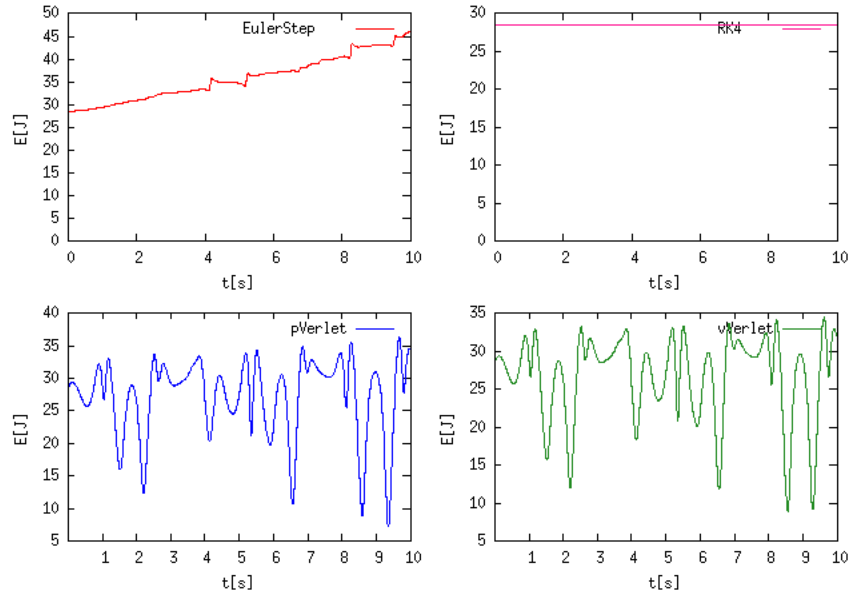


Figure 4: Condizioni iniziali: $\theta_1 = \theta_2 = \pi/6 \text{ rad}$, $\omega_1 = \omega_2 = 0 \text{ rad/s}$, $m_1 = m_2 = 1 \text{ kg}$ e $l_1 = l_2 = 1.0 \text{ m}$

Si è andati a fare un'analisi quantitativa dell'errore sull'energia per il metodo RK4:

$$\Delta E = \frac{E(t) - E_{in}}{E_{in}}, \quad (16)$$

dove E_{in} è l'energia iniziale del sistema ed $E(t)$ è quella calcolata al tempo t .

Andando a studiare l'andamento di ΔE al variare di t , si ottiene il seguente grafico:

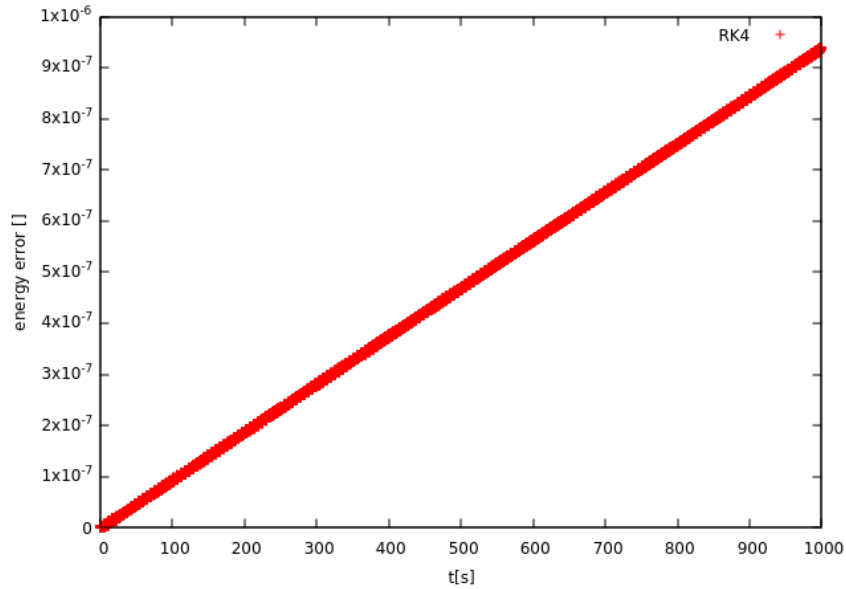


Figure 5: Condizioni iniziali: $\theta_1 = 0, \theta_2 = 10^{-5}$, $\omega_1 = \omega_2 = 0 \text{ rad/s}$, $m_1 = m_2 = 1 \text{ kg}$ e $l_1 = l_2 = 1.0 \text{ m}$. $dt=0.01$

L'errore relativo aumenta con il procedere dell'integrazione, ma dato che dopo 10^6 passi l'errore sull'energia ha un valore ancora piccolo ($\Delta E \sim 10^{-6}$), possiamo dire che per RK4 l'energia è conservata. Inoltre dato il piccolo errore ottenuto per l'energia, si vede che $dt=0.01$ è un buono step, quindi verrà utilizzato da qui in avanti.

4.2 Studio del comportamento caotico

È possibile studiare il comportamento caotico del sistema guardando come piccoli cambiamenti sulle condizioni iniziali influenzano il moto.

Si è visto che se entrambi gli angoli sono $\theta_1, \theta_2 < \pi/2$ e $\omega_1 = \omega_2 = 0$, il sistema tende a non essere caotico. Si è andati a studiare la traiettoria nello spazio delle fasi per tre diverse condizioni iniziali usando RK4, $\theta_1 = \theta_2 = \theta$ dove $\theta = \{\frac{\pi}{2}, \frac{\pi}{2} + 0.01, \frac{\pi}{2} - 0.01\}$. Si vede come all'inizio le curve si sovrappongono e dopo poco iniziano a distaccarsi, piccole deviazioni sulle condizioni iniziali sono esponenzialmente amplificate con il trascorrere del tempo.

Si sono andate ad osservare le traiettorie utilizzando come step $dt=0.01$ e $dt=0.001$ e sono state ottenute le stesse soluzioni. Le nostre soluzioni non dipendono quindi da dt .

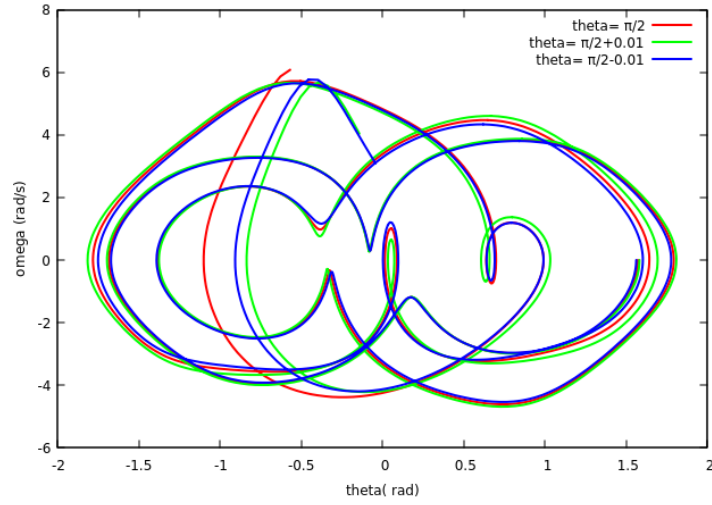


Figure 6: $dt=0.01$

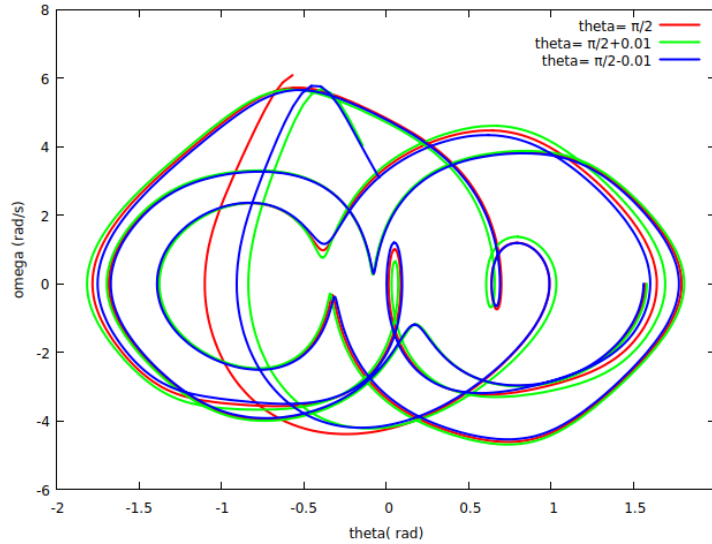


Figure 7: $dt=0.001$

4.3 Flip

Il pendolo si capovolge quando l'angolo arriva a π e prosegue, ovvero se $(\theta_2^n - \pi) \cdot (\theta_2^{n+1} - \pi) < 0$.

Si è andati a studiare il fenomeno assegnando agli angoli valori compresi nell'intervallo $[-\pi, \pi]$. Ogni volta che il pendolo si è capovolto si è andati a salvare t_{flip} (tempo di flip).

Di seguito si riporta il grafico con i risultati ottenuti, dove il tempo di flip si trova su una griglia, dove il giallo indica il caso in cui il pendolo non si è capovolto.

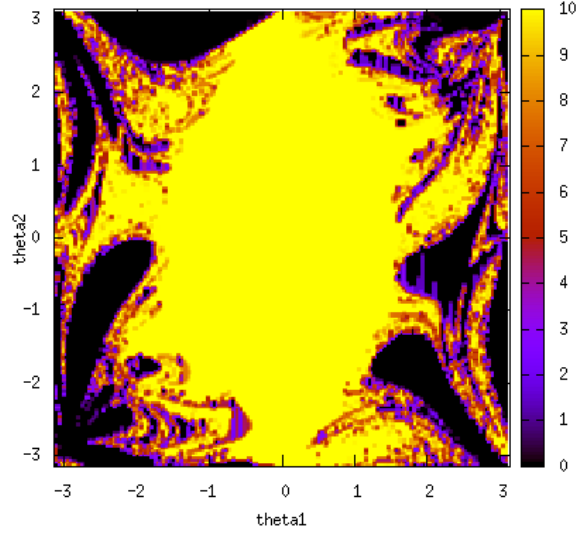


Figure 8: Condizioni iniziali $(\theta_1, \theta_2, 0, 0)$, dove l'unità di misura per gli angoli è in radianti

5 Conclusioni

Tra tutti i metodi utilizzati, Runge-Kutta del quarto ordine è risultato essere il migliore per integrare le equazioni del moto del doppio pendolo, dal momento che è l'unico che mantiene l'energia costante.

Dallo studio delle traiettorie nello spazio delle fasi e del tempo di flip, si è visto come il doppio pendolo sia un sistema caotico.

6 Codice

```
1 #include<iostream>
2 #include<fstream>
3 #include<cmath>
4
5
6 #define l1 1.
7 #define l2 1.
8 #define g 9.81
9 #define m1 1.
10 #define m2 1.
11 #define eta g/l1
12
13 using namespace std;
14
15 void EulerStep (double, double *, void*)(double, double *, double*), double, int);
16 void RK4Step(double, double*, void(*RHSFunc)(double, double*, double*), double, int);
17 void position_Verlet(double *, double *, void (*)(double*, double*,double*), double, int
18 );
19 void velocity_Verlet(double *, double *,void (*)(double *, double *, double *), double ,
20 int);
21
22 void dYdt(double, double *, double *);
23 void accel(double *, double *, double*);
24 void solution(double , double *, double *);
25 void NormAng(double &);
26
27 int main(){
28     double t, dt=0.01;
29     int n_var=2, neq=2*n_var;
30     double x1, x2, y1, y2, v1, v2; //position in space and angular speed
31     double E, E_in, N=1000;
32     double Y[neq], Y0[neq]={0.0001,0.,0.,0.}; // initial values
33     double X[n_var], V[n_var];
34     double a1,a2,b1,b2;
35     double theta1_true, theta2_true; //analytic solutions
36
37     a1=(Y0[0]*sqrt(2)+Y0[1])/(2*sqrt(2));
38     a2=(Y0[0]*sqrt(2)-Y0[1])/(2*sqrt(2));
39
40     b1=sqrt(eta)*sqrt(2-sqrt(2));
41     b2=sqrt(eta)*sqrt(2+sqrt(2));
42
43     ofstream fdata, data, data_ang;
44     fdata.open("doublependulum.dat");
45     data.open("convergence.dat");
46     data_ang.open("angle_error.dat");
47
48     //initial values
49     Y[0]=Y0[0]; //theta1
50     Y[1]=Y0[1]; //theta2
51     Y[2]=Y0[2]; //omega1
52     Y[3]=Y0[3]; //omega2
53
54     //-----Euler-method-----
55     t=0.;
56     E=0.;
57
58     fdata << t << " " << Y[0] << " " << Y[1]<<" " << Y[2] << " " << Y[3]<<" "<<E<<" "<<
59     x1<<" "<<y1<<" "<<x2<<" "<<y2<<" "<<endl;
60
61     for(int i=0;i<N;i++){
62
63         EulerStep (t, Y, dYdt, dt, neq);
64         t+=dt;
65
66         x1=l1*sin(Y[0]);
```

```

65     x2=x1+l2*sin(Y[1]);
66     y1=-l1*cos(Y[0]);
67     y2=y1-l2*cos(Y[1]);
68
69     E = 0.5*((m1+m2)*l1*Y[2]*l1*Y[2] + m2*l2*Y[3]*l2*Y[3]) +m2*( cos(Y[0])*cos(Y[1]) +
70     sin(Y[0])*sin(Y[1]) )*
71     l1*Y[2]*l2*Y[3] +g*( m1*(l1+l2+y1) + m2*(l1+l2+y2) );
72
73     theta1_true=a1*cos(b1*t)+a2*cos(b2*t);
74     theta2_true=sqrt(2)*(a1*cos(b1*t)-a2*cos(b2*t));
75
76     data_ang<<t<<" "<<Y[0]-theta1_true<<endl;
77     fdata << t << " " << Y[0] << " " << Y[1]<<" " << Y[2] << " " << Y[3]<<" "<<E<<" "
78     <<x1<<" "<<y1<<" "<<x2<<" "<<y2<<" "<<endl;
79 }
80
81 fdata<<"\n"<<endl;
82 fdata<<"\n"<<endl;
83 data_ang<<"\n"<<endl;
84
85 //-----RK4--method-----
86 //initial values
87 Y[0]=Y0[0]; //theta1
88 Y[1]=Y0[1]; //theta2
89 Y[2]=Y0[2]; //omega1
90 Y[3]=Y0[3]; //omega2
91 t=0.;
92 E=0.;
93 x1=l1*sin(Y[0]);
94 x2=x1+l2*sin(Y[1]);
95 y1=-l1*cos(Y[0]);
96 y2=y1-l2*cos(Y[1]);
97 E_in = 0.5*((m1+m2)*l1*Y[2]*l1*Y[2] + m2*l2*Y[3]*l2*Y[3]) +m2*( cos(Y[0])*cos(Y[1]) +
98     sin(Y[0])*sin(Y[1]) )*
99     l1*Y[2]*l2*Y[3] +g*( m1*(l1+l2+y1) + m2*(l1+l2+y2) );
100
101 fdata << t << " " << Y[0] << " " << Y[1]<<" " << Y[2] << " " << Y[3]<<" "<<E<<" "<<
102     x1<<" "<<y1<<" "<<x2<<" "<<y2<<" "<<endl;
103
104 for(int i=0;i<N;i++){
105
106     RK4Step (t, Y, dYdt, dt, neq);
107     t+=dt;
108
109     x1=l1*sin(Y[0]);
110     x2=x1+l2*sin(Y[1]);
111     y1=-l1*cos(Y[0]);
112     y2=y1-l2*cos(Y[1]);
113
114     E = 0.5*((m1+m2)*l1*Y[2]*l1*Y[2] + m2*l2*Y[3]*l2*Y[3]) +m2*( cos(Y[0])*cos(Y[1]) +
115     sin(Y[0])*sin(Y[1]) )*
116     l1*Y[2]*l2*Y[3] +g*( m1*(l1+l2+y1) + m2*(l1+l2+y2) );
117
118     theta1_true=a1*cos(b1*t)+a2*cos(b2*t);
119     theta2_true=sqrt(2)*(a1*cos(b1*t)-a2*cos(b2*t));
120
121     data_ang<<t<<" "<<Y[0]-theta1_true<<endl;
122     data<< t << " " << abs(E-E_in)/E_in << " " <<endl;
123     fdata << t << " " << Y[0] << " " << Y[1]<<" " << Y[2] << " " << Y[3]<<" "<<E<<" "
124     <<x1<<" "<<y1<<" "<<x2<<" "<<y2<<" "<<endl;
125 }
126
127 fdata<<"\n"<<endl;
128 fdata<<"\n"<<endl;
129 data_ang<<"\n"<<endl;
130
131 //-----position- Verlet-method-----
132 X[0]=Y0[0]; //initial values

```

```

128 X[1]=Y0[1];
129 V[0]=Y0[2];
130 V[1]=Y0[3];
131 t=0.;
132 E=0.;
133
134 for(int i=0; i<N; i++){
135
136     position_Verlet (X, V, accel, dt, n_var);
137     t+=dt;
138
139     x1=l1*sin(X[0]);
140     x2=x1+l2*sin(X[1]);
141     y1=-l1*cos(X[0]);
142     y2=y1-l2*cos(X[1]);
143
144     E = 0.5*((m1+m2)*l1*V[0]*l1*V[1] + m2*l2*V[1]*l2*V[1]) +m2*( cos(X[0])*cos(X[1]) +
145     sin(X[0])*sin(X[1]) )*
146     l1*V[0]*l2*V[1] +g*( m1*(l1+l2+y1) + m2*(l1+l2+y2) );
147
148     theta1_true=a1*cos(b1*t)+a2*cos(b2*t);
149     theta2_true=sqrt(2)*(a1*cos(b1*t)-a2*cos(b2*t));
150
151     data_ang<<t<<" "<<X[0]-theta1_true<<endl;
152     fdata<< t <<" "<< X[0] <<" "<< X[1] <<" "<< V[0] <<" "<< V[1] <<" "<< E <<" "<< x1 <<
153     " "<< y1 <<" "<< x2 <<" "<< y2 << endl;
154 }
155 fdata<<"\n"<<endl;
156 fdata<<"\n"<<endl;
157 data_ang<<"\n"<<endl;
158
159 //-----velocity-Verlet-method-----
160 X[0]=Y0[0]; //initial values
161 X[1]=Y0[1];
162 V[0]=Y0[2];
163 V[1]=Y0[3];
164 t=0.;
165 E=0.;
166
167 for(int i=0; i<N; i++){
168
169     velocity_Verlet (X, V, accel, dt, n_var);
170     t+=dt;
171
172     x1=l1*sin(X[0]);
173     x2=x1+l2*sin(X[1]);
174     y1=-l1*cos(X[0]);
175     y2=y1-l2*cos(X[1]);
176
177     E = 0.5*((m1+m2)*l1*V[0]*l1*V[1] + m2*l2*V[1]*l2*V[1]) +m2*( cos(X[0])*cos(X[1]) +
178     sin(X[0])*sin(X[1]) )*
179     l1*V[0]*l2*V[1] +g*( m1*(l1+l2+y1) + m2*(l1+l2+y2) );
180
181     theta1_true=a1*cos(b1*t)+a2*cos(b2*t);
182     theta2_true=sqrt(2)*(a1*cos(b1*t)-a2*cos(b2*t));
183
184     data_ang<<t<<" "<<X[0]-theta1_true<<endl;
185     fdata<< t <<" "<< X[0] <<" "<< X[1] <<" "<< V[0] <<" "<< V[1] <<" "<< E <<" "<< x1 <<
186     " "<< y1 <<" "<< x2 <<" "<< y2 << endl;
187 }
188 fdata<<"\n"<<endl;
189 fdata<<"\n"<<endl;
190
191 data.close();
192 fdata.close();
193 data_ang.close();
194
195 cout<<"programma eseguito correttamente"<<"\n"<<endl;

```

```

193
194
195 //-----FLIP-----
196 int na=10;
197 double k;
198 bool flip = false, ok_flip = false;
199 double theta_init[n_var];
200
201 ofstream data2;
202 data2.open("flip.dat");
203
204 t = 0;
205 int n = 0;
206
207
208 for (int c = 0; c < na; c++)
209 {
210     cout <<"iterazione: " << c << endl;
211     cout<<endl;
212     for (int j=0; j<na; j++){
213         Y0[0] = (2*(double)j/(double)na-1)*M_PI; // starts from -pi and ends in +pi
214
215         for(int k=0; k<na; k++){
216             Y0[1] = (2*(double)k/(double)na-1)*M_PI; // starts from -pi and ends in +pi
217
218             ok_flip = false;
219
220             // RK methods -----
221             for (int a=0; a<neq; a++) { //initial values
222                 Y[a]=Y0[a];
223             }
224             t=0; // starting time
225             n=0; // no flip or divergenc
226
227             for (int i=0; i<N; i++){
228                 theta_init[0]=Y[0];
229                 theta_init[1]=Y[1];
230                 t += dt;
231                 RK4Step(t, Y, dYdt, dt, neq);
232
233                 if ( fabs(Y[0]-M_PI) < 1. or fabs(Y[1]-M_PI) < 1. ) { // only checking when the
angle is close to pi
234                     if ( (Y[0]-M_PI)*(theta_init[0]-M_PI) < 0. or (Y[1]-M_PI)*(theta_init[1]-M_PI
) < 0. ) {
235                         n++;
236                         flip = true;
237                     }
238                 }
239
240                 // flip save -----
241                 if (not ok_flip and flip) {
242                     data2 << t << " " << Y0[0] << " " << Y0[1] << endl; // t, theta
243                     flip = false;
244                     ok_flip = true;
245                 }
246                 if (not ok_flip and i==N-1) data2 << t << " " << Y0[0] << " " << Y0[1] << endl;
247             }
248         }
249         data2 << endl;
250     }
251 }
252 data2.close();
253
254
255
256 return 0;
257 }
258
259

```

```

260 void dYdt(double t, double *Y, double *R)
261 {
262
263     double theta1=Y[0]; //first angle
264     double theta2=Y[1]; //second angle
265     double omega1=Y[2]; //first speed
266     double omega2=Y[3]; //second speed
267
268     R[0]=omega1; //R=dY/dt
269     R[1]=omega2;
270
271     R[2]=(-g*(2*m1+m2)*sin(theta1)-m2*g*sin(theta1-2*theta2)
272     -2*sin(theta1-theta2)*m2*(omega2*omega2*l2+omega1*omega1*l1*cos(theta1-theta2)))/(l1
273     *(2*m1+m2-m2*cos(2*theta1-2*theta2)));
274     R[3]=(2*sin(theta1-theta2)*(omega1*omega1*l1*(m1+m2)+g*(m1+m2)*cos(theta1)
275     +omega2*omega2*l2*m2*cos(theta1-theta2)))/(l2*(2*m1+m2-m2*cos(2*theta1-2*theta2)));
276 }
277 void accel(double *X, double *V, double *a){
278     double theta1=X[0]; //first angle
279     double omega1=V[0]; //first speed
280     double theta2=X[1]; //second angle
281     double omega2=V[1]; //second speed
282
283     a[0]=(-g*(2*m1+m2)*sin(theta1)-m2*g*sin(theta1-2*theta2)-2*sin(theta1-theta2)*m2*(
284     omega2*omega2*l2+omega1*omega1*l1*cos(theta1-theta2)))/(l1*(2*m1+m2-m2*cos(2*theta1-2*
285     theta2)));
286
287     a[1]=(2*sin(theta1-theta2)*(omega1*omega1*l1*(m1+m2)+g*(m1+m2)*cos(theta1)
288     +omega2*omega2*l2*m2*cos(theta1-theta2)))/(l2*(2*m1+m2-m2*cos(2*theta1-2*theta2)));
289 }
290 //-----analytic-solution-small-angles-----
291 void solution(double t, double *Y0, double *Ysol){
292
293     double omega1 = sqrt((2-sqrt(2))*g/l1);
294     double omega2 = sqrt((2+sqrt(2))*g/l1);
295
296     double a1 = (sqrt(2)*Y0[0] + Y0[1])*0.5;
297     double a2 = (sqrt(2)*Y0[0] - Y0[1])*0.5;
298
299     Ysol[0] = ( a1*cos(omega1*t) + a2*cos(omega2*t) )/sqrt(2);
300     Ysol[1] = a1*cos(omega1*t) - a2*cos(omega2*t);
301
302     Ysol[2] = - ( omega1*a1*sin(omega1*t) + omega2*a2*sin(omega2*t) )/sqrt(2);
303     Ysol[3] = - ( omega1*a1*sin(omega1*t) - omega2*a2*sin(omega2*t) );
304
305 }
306
307 //-----RK4Step-----
308 void RK4Step(double t,
309             double *Y,
310             void(*RHSFunc)(double, double*, double*),
311             double dt, int neq)
312 {
313     double Y1[neq], k1[neq], k2[neq], k3[neq], k4[neq];
314
315     //k1
316     RHSFunc(t,Y,k1);
317     for(int i=0;i<neq;i++){
318         Y1[i]=Y[i]+0.5*dt*k1[i];
319     }
320
321     //k2
322     RHSFunc(t+0.5*dt,Y1,k2);
323     for(int i=0;i<neq;i++){
324         Y1[i]=Y[i]+0.5*dt*k2[i];
325     }
326

```

```

327 //k3
328 RHSFunc(t+0.5*dt,Y1,k3);
329 for(int i=0;i<neq;i++){
330     Y1[i]=Y[i]+dt*k3[i];
331 }
332
333 //k4
334 RHSFunc(t+0.5*dt,Y1,k4);
335 for(int i=0;i<neq;i++){
336     Y[i]+=(dt/6.)*(k1[i]+2.*k2[i]+2.*k3[i]+k4[i]);
337 }
338 }
339
340 //-----position Verlet-----
341 void position_Verlet(double *x, double *v, void (*acc)(double *, double*,double*), double
    dt, int neq)
342 {
343     int n;
344     double a[neq];
345
346     for(n=0; n<neq;n++){
347         x[n]+=0.5*dt*v[n];
348     }
349
350     acc(x,v,a);
351
352     for(int n=0;n<neq;n++){
353         v[n]+=dt*a[n];
354     }
355
356     for(n=0;n<neq;n++){
357         x[n]+=0.5*dt*v[n];
358     }
359 }
360
361 //-----velocity Verlet-----
362 void velocity_Verlet(double *x, double *v,void (*acc)(double *, double *, double *),
    double dt,int neq)
363 {
364     int n;
365     double a[neq];
366
367     acc(x,v,a);
368
369     for(n=0;n<neq;n++) v[n]+=0.5*dt*a[n];
370
371     for(n=0;n<neq;n++) x[n]+=dt*v[n];
372
373     acc(x,v,a);
374
375     for(n=0;n<neq;n++) v[n]+=0.5*dt*a[n];
376 }
377
378 //-----Euler-method-----
379 void EulerStep (double t, double *Y, void(*RHSFunc)(double, double *, double*), double dt
    , int neq){
380     double rhs[neq];
381
382     RHSFunc(t,Y,rhs);
383     for(int k=0;k<neq;k++){
384         Y[k]+=dt*rhs[k];
385     }
386 }
387
388 void NormAng(double &ang){
389     if (ang> M_PI) ang-= 2*M_PI;
390     if (ang<-M_PI) ang+= 2*M_PI;
391 }
392

```

6.1 Codice convergenza algoritmi

```
1 #include "ode.h"
2
3 #define g 9.81
4
5 #define M 1
6 #define L 1
7
8 #define pos_in .08
9 #define vel_in 0.
10
11 void dYdt(double, double*, double*);
12 void acc_func(double *, double *);
13 double AnalyticalSolution(double);
14
15
16 int main(){
17     using namespace std;
18     int n= 2;
19     int N = 20;
20     double h = .5;
21     double Y[n];
22     double t = 0;
23     ofstream fwriter;
24     int n_var=1;
25     double X[n_var], V[n_var];
26
27     //-----CONVERGENCE-----
28     int top = 15;
29
30     double EulErr, RK4Err, posErr, velErr;
31     double temp;
32     double omega = sqrt(g/L);
33     double err1, err2, err3, err4 = 0.;
34     fdata.open("dp_conv.dat");
35     for(int jj=0; jj<top; jj++){
36         t = 0;
37         Y[0] = pos_in;
38         Y[1] = vel_in;
39         for(int i = 0; i<N; i++){
40             EulerStep(t, Y, dYdt, h, n);
41             t += h;
42         }
43         temp = fabs(Y[0]-AnalyticalSolution(t));
44         EulErr = fabs(temp - err1);
45         err1 = temp;
46         t = 0;
47         Y[0] = pos_in;
48         Y[1] = vel_in;
49         for(int i = 0; i<N; i++){
50             RK4Step(t, Y, dYdt, h, n);
51             t += h;
52         }
53         temp = fabs(Y[0]-AnalyticalSolution(t));
54         RK4Err = fabs(temp - err2);
55         err2 = temp;
56         t = 0;
57         X[0] = pos_in;
58         V[0] = vel_in;
59         for(int i=0; i<N; i++){
60             position_Verlet (X, V, acc_func, h, n_var);
61             t+=h;
62         }
63         temp = fabs(X[0]-AnalyticalSolution(t));
64         posErr = fabs(temp - err3);
65         err3 = temp;
66         t = 0;
67         X[0] = pos_in;
```

```

68     V[0] = vel_in;
69     for(int i=0; i<N; i++){
70         velocity_Verlet (X, V, acc_func, h, n_var);
71         t+=h;
72     }
73     temp = fabs(X[0]-AnalyticalSolution(t));
74     velErr = fabs(temp - err4);
75     err4 = temp;
76     fdata << h << " " << EulErr << " " << RK4Err << " " << posErr << " " << velErr << endl;
77
78     N *= 2;
79     h /= 2;
80
81 }
82
83 fdata.close();
84 return 0;
85 }
86
87 void dYdt(double t, double *Y, double *R){
88     double x = Y[0];
89     double v = Y[1];
90     R[0] = v;
91     R[1] = -(g/L)*sin(x);
92 }
93
94 void acc_func(double *theta_t, double *a)
95 {
96     double theta=theta_t[0];
97     a[0]=-sin(theta);
98 }
99
100 double AnalyticalSolution(double t){
101     double omega = sqrt(g/L);
102     return IVP_pos*cos(omega*t);
103 }

```